

Член-корреспондент НАН Украины Ю. Г. Стоян, А. М. Чугай

Математическая модель и метод решения задачи упаковки максимального числа равных кругов в невыпуклую область с зонами запрета

Розглядається оптимізаційна задача упакування максимальної кількості рівних кіл у багатозв'язну область, границя якої складається з дуг кіл та відрізків прямих. Побудовано математичну модель задачі. На підставі властивостей математичної моделі запропоновано метод розв'язання задачі. Метод складається з комбінації алгоритму генерації початкових точок, модифікації методу можливих напрямків та модифікації методу звужувальних околів для пошуку наближення до глобального максимуму. Наводиться чисельний приклад.

Задача размещения одинаковых кругов имеет важное теоретическое и прикладное значение. Рассмотрим постановку рассматриваемой задачи. Пусть имеются конгруэнтные круги C_i , $i \in I = \{1, 2, \dots, N\}$, радиусом r с центрами $u_i = (x_i, y_i)$ и замкнутое многосвязное множество P , заданное следующим образом: $P = \text{cl}\left(P_0 \setminus \bigcup_{l=1}^{\beta} A_l\right) \subset \mathbb{R}^2$, $A_l = \left(\bigcup_{g=1}^{g_l} C_{lg}\right) \cup \left(\bigcup_{h=1}^{h_l} M_{lh}\right)$, $\text{int } A_l \neq \emptyset$, $l \in B = \{1, 2, \dots, \beta\}$, C_{lg} — круги с центрами (x_{lg}^0, y_{lg}^0) и радиусами ρ_{lg}^0 , $g \in G_l = \{1, 2, \dots, g_l\}$, M_{lh} — выпуклые многоугольники, $h \in H_l = \{1, 2, \dots, h_l\}$. Граница P_0 формируется отрезками прямых и дугами окружностей.

Задача. Необходимо найти такой вектор $u = (u_1, u_2, \dots, u_n) \in \mathbb{R}^{2n}$, который обеспечит размещение в области P максимального числа $n \leq N$ кругов C_i , $i \in I$.

В отличие от работы [1], которая также посвящена задаче упаковки одинаковых кругов, в данной работе рассматривается многосвязная область, граница которой формируется отрезками прямых и дугами окружностей. Кроме того, предлагается другая математическая модель и разработан более эффективный метод решения задачи.

Прежде чем построить математическую модель поставленной задачи, построим множество

$$G = \text{cl}(\mathbb{R}^2 \setminus P_0) = \left(\bigcup_{j=1}^{j_1} Q_{1j}\right) \cup \left(\bigcup_{j=1}^{j_2} Q_{2j}\right) \cup \left(\bigcup_{j=1}^{j_3} Q_{3j}\right) \cup \left(\bigcup_{j=1}^{j_4} Q_{4j}\right),$$

где

$$Q_{1j} = \{(x, y) \in \mathbb{R}^2: \chi_{1j}(x, y) \geq 0\}, \quad j \in J_1 = \{1, 2, \dots, j_1\}, \quad \chi_{1j}(x, y) = a_{1j}x + b_{1j}y + c_{1j};$$

$$Q_{2j} = \{(x, y) \in \mathbb{R}^2: \chi_{2jl}(x, y) \geq 0, \quad l = 1, 2\}, \quad j \in J_2 = \{1, 2, \dots, j_2\},$$

$$\chi_{2jl}(x, y) = a_{2jl}x + b_{2jl}y + c_{2jl};$$

$$Q_{3j} = \{(x, y) \in \mathbb{R}^2: \widehat{\omega}_{3j}(x, y) \geq 0\}, \quad j \in J_3 = \{1, 2, \dots, j_3\},$$

$$\widehat{\omega}_{3j}(x, y) = \widehat{r}_j^2 - (x - \widehat{x}_j)^2 - (y - \widehat{y}_j)^2;$$

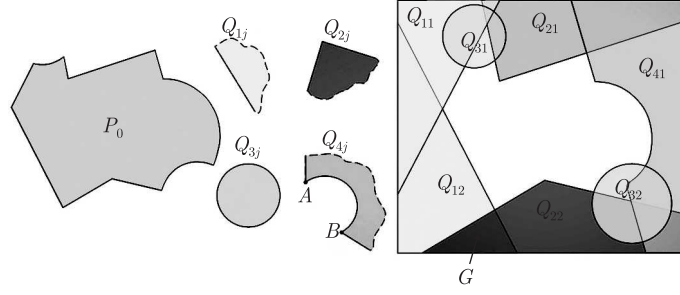


Рис. 1. Представление множества G

$$Q_{4j} = \{(x, y) \in \mathbb{R}^2: \chi_{4jl}(x, y) \geq 0, \tilde{\omega}_{4j}(x, y) \geq 0, l = 1, 2\}, \quad j \in J_4 = \{1, 2, \dots, j_4\},$$

$$\chi_{4jl}(x, y) = a_{4jl}x + b_{4jl}y + c_{4jl}, \quad \tilde{\omega}_{4j}(x, y) = (x - \tilde{x}_j)^2 + (y - \tilde{y}_j)^2 - \tilde{r}_j^2,$$

при этом $\rho(A, B) \geq 2r$, $\rho(A, B)$ — расстояние между точками A и B (рис. 1), $\tilde{r} \geq r$.

Например, для области P_0 , представленной на рис. 1, множество G имеет вид

$$G = \left(\bigcup_{j=1}^2 Q_{1j} \right) \cup \left(\bigcup_{j=1}^2 Q_{2j} \right) \cup \left(\bigcup_{j=1}^2 Q_{3j} \right) \cup \left(\bigcup_{j=1}^1 Q_{4j} \right).$$

Решение поставленной задачи сводится к решению следующей последовательности задач:

$$F_n(X^{n*}) = \max_{X^n \in W_n} F_n(X^n), \quad n \in I_n = \{1, 2, \dots, \tau \leq N\}, \quad (1)$$

$$W_n = \{X^n \in \mathbb{R}^{3n}: \Phi_{ij}(u_i, u_j, r_i, r_j) \geq 0, i, j \in I_n, i < j, \Phi_i(u_i, r_i) \geq 0, r - r_i \geq 0, r_i \geq 0, i \in I_n\}, \quad (2)$$

где

$$F_n(X^n) = \sum_{i=1}^n r_i, \quad X^n = (u^n, v^n),$$

$$u^n = (u_1, u_2, \dots, u_n) \in \mathbb{R}^{2n}, \quad v^n = (r_1, r_2, \dots, r_n) \in \mathbb{R}^n, \quad r_i — радиус C_i ,$$

$$\Phi_{ij}(u_i, u_j, r_i, r_j) = (x_i - x_j)^2 + (y_i - y_j)^2 - (r_i + r_j)^2 \geq 0,$$

$$\Phi_i(u_i, r_i) = \min\{\Phi_{ilg}^{CC}(u_i, r_i), \Phi_{ilh}^{CM}(u_i, r_i), \Phi_i^{CG}(u_i, r_i), l \in B, g \in G_l, h \in H_l\},$$

$$\Phi_{ilg}^{CC}(u_i, r_i) = (x_i - x_{lg}^0)^2 + (y_i - y_{lg}^0)^2 - (r_i + \rho_{lg}^0)^2,$$

$$\Phi_{ilh}^{CM}(u_i, r_i) = \max_{k=1, 2, \dots, m_{lh}} \{\max\{\min\{\psi_{ilhk}(u_i, r_i), \omega_{ilhk}(u_i, r_i)\}, \chi_{ilhk}^*(u_i, r_i)\}\},$$

$$\Phi_i^{CG}(u_i, r_i) = \min\{\Phi_{ij}^{CQ_1}(u_i, r_i), j \in J_1, \Phi_{ij}^{CQ_2}(u_i, r_i), j \in J_2, \Phi_{ij}^{CQ_3}(u_i, r_i), j \in J_3,$$

$$\Phi_{ij}^{CQ_4}(u_i, r_i), j \in J_4\},$$

$$\Phi_{ij}^{CQ_1}(u_i, r_i) = \chi_{i1j}^*(u_i, r_i) = -\chi_{1j}(u_i) - r_i,$$

$$\begin{aligned}
\Phi_{ij}^{CQ_2}(u_i, r_i) &= \max\{\min\{\psi_{ij}(u_i, r_i), \omega_{ij}(u_i, r_i)\}, \chi_{i2j1}^*(u_i, r_i), \chi_{i2j2}^*(u_i, r_i)\}, \\
\Phi_{ij}^{CQ_3}(u_i, r_i) &= (x_i - \widehat{x}_j)^2 + (y_i - \widehat{y}_j)^2 - (r_i + \widehat{r}_j)^2, \\
\Phi_{ij}^{CQ_4}(u_i, r_i) &= \max\{\phi_{ij1}(u_i, r_i), \phi_{ij2}(u_i, r_i), \phi_{ij3}(u_i, r_i), \omega_{ij3}(u_i, r_i), \chi_{i4j1}^*(u_i, r_i), \\
&\quad \chi_{i4j2}^*(u_i, r_i)\}, \\
\phi_{ij1}(u_i, r_i) &= \min\{\omega_{ij1}(u_i, r_i), \omega_{ij2}(u_i, r_i), \psi_{ij1}(u_i, r_i), \psi_{ij2}(u_i, r_i), \psi_{ij3}(u_i, r_i)\}, \\
\phi_{ij2}(u_i, r_i) &= \min\{\omega_{ij1}(u_i, r_i), \psi_{ij4}(u_i, r_i)\}, \quad \phi_{ij3}(u_i, r_i) = \min\{\omega_{ij2}(u_i, r_i), \psi_{ij5}(u_i, r_i)\}, \\
\omega_{ij1}(u_i, r_i) &= (x_i - x_{j1})^2 + (y_i - y_{j1})^2 - r_i^2, \quad \omega_{ij2}(u_i, r_i) = (x_i - x_{j2})^2 + (y_i - y_{j2})^2 - r_i^2, \\
\omega_{ij3}(u_i, r_i) &= (\widetilde{r}_j - r_i)^2 - (x_i - \widetilde{x}_j)^2 - (y_i - y_j)^2, \\
\psi_{ij1}(u_i, r_i) &= a_{j1}x_i + b_{j1}y_i + c_{j1}, \\
a_{1j} &= y_{j4} - y_{j3}, \quad b_{j1} = -(x_{j4} - x_{j3}), \quad c_{1j} = -(a_{1j}x_{j3} + b_{1j}y_{j3}), \\
\psi_{ij2}(u_i, r_i) &= a_{j2}x_i + b_{j2}y_i + c_{j2}, \\
a_{j2} &= y_{j6} - y_{j5}, \quad b_{j2} = -(x_{j6} - x_{j5}), \quad c_{j2} = -(a_{j2}x_{j5} + b_{j2}y_{j5}), \\
\psi_{ij3}(u_i, r_i) &= a_{j3}x_i + b_{j3}y_i + c_{j3}, \\
a_{j3} &= y_{j5} - y_{j4}, \quad b_{j3} = -(x_{j5} - x_{j4}), \quad c_{j3} = -(a_{j3}x_{j5} + b_{j3}y_{j5}), \\
\psi_{ij4}(u_i, r_i) &= a_{j4}x_i + b_{j4}y_i + c_{j4}, \\
a_{j4} &= y_{j3} - y_{j7}, \quad b_{j4} = -(x_{j3} - x_{j7}), \quad c_{j4} = -(a_{j4}x_{j3} + b_{j4}y_{j3}), \\
\psi_{ij5}(u_i, r_i) &= a_{j5}x_i + b_{j5}y_i + c_{j5}, \\
a_{j5} &= y_{j8} - y_{j6}, \quad b_{j5} = -(x_{j8} - x_{j6}), \quad c_{j5} = -(a_{j5}x_{j6} + b_{j5}y_{j6}), \\
\chi_{i4j1}^*(u_i, r_i) &= -\chi_{4j1}(u_i) - r_i, \quad \chi_{i4j2}^*(u_i, r_i) = -\chi_{4j2}(u_i) - r_i,
\end{aligned}$$

$(x_{j1}, y_{j1}), (x_{j2}, y_{j2}), (x_{j3}, y_{j3}), (x_{j4}, y_{j4}), (x_{j5}, y_{j5}), (x_{j6}, y_{j6}), (x_{j7}, y_{j7})$ и (x_{j8}, y_{j8}) — координаты точек A, B, D, E, F, G, M и N соответственно (рис. 2), $\Phi_i(u_i, r_i), \Phi_i^{CG}(u_i, r_i), \Phi_{ij}^{CQ_1}(u_i, r_i), \Phi_{ij}^{CQ_2}(u_i, r_i), \Phi_{ij}^{CQ_3}(u_i, r_i), \Phi_{ij}^{CQ_4}(u_i, r_i), \Phi_{ilg}^{CC}(u_i, r_i), \Phi_{ilh}^{CM}(u_i, r_i)$ — Φ -функции [2] для C_i и $\text{cl}(\mathbb{R}^2 \setminus P)$, C_i и G [3], C_i и Q_{1j} ; C_i и Q_{2j} [4]; C_i и Q_{3j} ; C_i и Q_{4j} ; C_i и C_{lg} ; C_i и M_{lh} [4] соответственно.

Если $F_n(X^{n*}) < nr$ и $F_{n-1}(X^{(n-1)*}) = F_{n-1}(u^{(n-1)*}, v^{(n-1)*}) = (n-1)r$, где $v^{(n-1)*} = (r, r, \dots, r)$, то решение задачи (1)–(2) достигается в точке $u^* = u^{(n-1)*}$.

Рассматриваемая задача относится к классу NP-трудных задач [4].

Для построения начальных точек область P покрывается многоугольной решеткой, у которой основной параллелограмм является квадратом S с длиной сторон, равной r . Пусть $k > n$ — количество квадратов, таких, что

$$S_i = \left\{ (x, y) \in \mathbb{R}^2 : a_i - \frac{1}{2}r \leq x \leq a_i + \frac{1}{2}r, b_i - \frac{1}{2}r \leq y \leq b_i + \frac{1}{2}r \right\} \subset P,$$

где (a_i, b_i) — координаты центра S_i , $i \in K = (1, 2, \dots, k)$. Каждому S_i поставим в соответствие номер i , $i \in K$. Сформируем вектор $p^i = (p_{i1}, p_{i2}, \dots, p_{in}, \dots, p_{ik}) \in \mathbb{R}^{2k}$, где

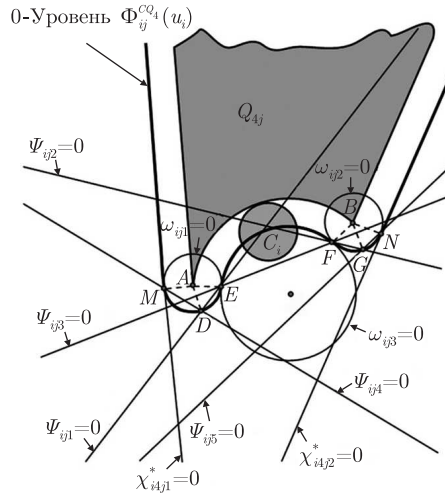


Рис. 2. 0-Уровень $\Phi_{ij}^{CQ^4}(u_i)$

$p_{i_j} = (a_{i_j}, b_{i_j})$. Для того чтобы получить точку $X^{ni} \in W_n$, зададим $v^{ni} = (r/2, r/2, \dots, r/2)$ и сформируем вектор $u^{ni} = (u_1^i, u_2^i, \dots, u_n^i) \in \mathbb{R}^{2n}$, приравняв компоненты u^{ni} первым n компонентам $p^i = \underbrace{(p_{i_1}, p_{i_2}, \dots, p_{i_n})}_{n}$, т. е. $u^{ni} = ((a_{i_1}, b_{i_1}), (a_{i_2}, b_{i_2}), \dots, (a_{i_n}, b_{i_n})) \in \mathbb{R}^{2n}$.

Таким образом, взяв (a_{i_j}, b_{i_j}) в качестве координат центра C_j , мы получим размещение C_j радиуса $r/2$, $j \in I_n$, в P без пересечений.

Очевидно, что число векторов $p^i \in \mathbb{R}^{2k}$ равно $k!$, т. е. все p^i формируют множество $\Pi \subset \mathbb{R}^{2k}$ перестановок без повторений. Множеству $\Pi \subset \mathbb{R}^{2k}$ соответствует множество $T \subset \mathbb{R}^{3n}$ начальных точек и, следовательно, множество $L \subset \mathbb{R}^{3n}$ локальных максимумов задачи (1)–(2). Поэтому перебор локальных максимумов на множестве L может быть сведен к перебору точек на множестве $\Pi \subset \mathbb{R}^{2k}$. Для того чтобы осуществить “направленный” перебор на множестве $\Pi \subset \mathbb{R}^{2k}$, используется следующая модификация метода сужающихся окрестностей (МСО) [6].

Этап настройки МСО. На данном этапе осуществляется поиск перспективных центров для следующего итерационного этапа.

Шаг 1. Генерируется случайная выборка $\Pi_0 \subset \Pi$, $\text{card}(\Pi_0) = \lambda$, строится соответствующее множество $T_0 = \{X^{nj}, j \in J_\lambda = (1, 2, \dots, \lambda)\} \subset T$ начальных точек и формируется соответствующее множество $L_0 = \{X^{nj*}, j \in J_\lambda\} \subset L$ локальных максимумов.

Шаг 2. Выбираются точки $X^{nj*} \in L_0$, $l \in \Omega = \{1, 2, \dots, \omega\}$, такие, что $F_n(X^{nj_1*}) > F_n(X^{nj_2*}) > \dots > F_n(X^{nj_\omega*}) \geq \max\{F_n(X^{n*}) : X^{n*} \in L_0 \setminus \{X^{nj*}, l \in \Omega\}\}$. Таким образом, каждому локальному максимуму X^{nj*} соответствует точка $p^{jl} \in \Pi_0$, $l \in \Omega$. Точки $p^{jl} \in \Pi_0$ принимаются в качестве центров окрестностей $N_{0l} \subset \Pi_0$, $l \in \Omega$, радиуса $\rho^0 < \beta^*$, где β^* — оценка диаметра множества Π . Расстояние между точками p^i и p^j вычисляется согласно евклидовой метрике. Для того чтобы определить перспективные центры, генерируются случайные выборки $S_{0l} \subset N_{0l}$, $l \in \Omega$, $\text{card}(S_{0l}) = \lambda$. Значение $\rho^0 = 0,25\beta^*$ позволяет определить “поведение” F_n вблизи локальных максимумов, соответствующих центрам p^{jl} окрестностей $N_{0l} \subset \Pi_0$, $l \in \Omega$.

Шаг 3. Формируются множества $T_{0l} \subset T$ и $L_{0l} \subset L$, которые соответствуют $S_{0l} \subset N_{0l}$, $l \in \Omega$.

Шаг 4. Для каждого L_{0l} вычисляется математическое ожидание m_{0l} и среднеквадратическое отклонение σ_{0l} , $l \in \Omega$, значений F_n .

Шаг 5. Определяется точка \tilde{p}^0 , которая соответствует локальному максимуму \tilde{X}^{n0*} , такому, что $F_n(\tilde{X}^{n0*}) = \max \left\{ F_n(X^{n*}), X^{n*} \in \bigcup_{l=1}^{\omega} L_{0l} \right\}$.

Итерационный этап МСО. Итерационный процесс начинается со счетчика итераций, равного $k = 1$. Будем считать, что после k -итерации сформировано множество L_{ki} , вычислены m_{ki} , σ_{ki} , $i = 1, 2, 3$, и получена точка \tilde{p}^k , которая соответствует локальному максимуму \tilde{X}^{nk*} , такому, что $F_n(\tilde{X}^{nk*}) = \max \left\{ F_n(X^{n*}), X^{n*} \in \bigcup_{i=1}^3 L_{ki} \right\}$.

Шаг 1. Выбираются центры c_{ki} окрестностей N_{ki} , $i = 1, 2, 3$, следующим образом:

$$1) c^{k1} = \begin{cases} \tilde{p}^{k-1}, & \text{если } F_n(\tilde{X}^{n(k-1)*}) > F_n(\tilde{X}^{n(k-2)*}), \\ \tilde{p}^{k-2}, & \text{если } F_n(\tilde{X}^{n(k-1)*}) \leq F_n(\tilde{X}^{n(k-2)*}), \end{cases} \quad \text{если } k = 1, \text{ то } c^{k1} = p^0;$$

$$2) c^{k2} = \begin{cases} c^{(k-1)1}, & \text{если } c^{k1} = \tilde{p}^{k-1} \text{ и } \tilde{X}^{n(k-1)*} \in L_{(k-1)1}, \\ c^{(k-1)2}, & \text{если или } c^{k1} = \tilde{p}^{k-1} \text{ и } \tilde{X}^{n(k-1)*} \in L_{(k-1)2}, \text{ или } c^{k1} = \tilde{p}^{k-2}, \\ c^{(k-1)3}, & \text{если } c^{k1} = \tilde{p}^{k-1} \text{ и } \tilde{X}^{nk*} \in L_{(k-1)3}, \end{cases}$$

если $k = 1$, то $c^{k2} = p^j$, где p^j — центр окрестности N_{0l} , в которой получена точка p^0 ;

3) $c^{k3} = c^{(k-1)i}$, где $c^{(k-1)i}$ — центр окрестности $N_{(k-1)i}$, в которой получено значение $\max\{m_{(k-1)i} + \theta\sigma_{(k-1)i}, i = 1, 2, 3\}$, $0 < \theta \leq 3$, если $k = 1$, то $i = 1, 2, \dots, \omega$ (данный центр выбирается из гипотезы о том, что значения локальных максимумов F_n распределены по нормальному закону).

Шаг 2. Определяются радиусы ρ_{ki} новых окрестностей N_{ki} , $i = 1, 2, 3$, следующим образом:

$$\rho_{ki} = \begin{cases} \mu\rho_{(k-1)i}, & \text{если } m_{(k-1)i} + \theta\sigma_{(k-1)i} \leq f_{k-1}^*, \\ \frac{1}{\mu}\rho_{(k-1)i} \leq \rho_k, & \text{если } m_{(k-1)i} + \theta\sigma_{(k-1)i} > f_{k-1}^*, \end{cases}$$

где

$$f_{k-1}^* = \begin{cases} F_n(\tilde{X}^{n(k-1)*}), & \text{если } F_n(\tilde{X}^{n(k-1)*}) > F_n(\tilde{X}^{n(k-2)*}), \\ F_n(\tilde{X}^{n(k-2)*}), & \text{если } F_n(\tilde{X}^{n(k-1)*}) \leq F_n(\tilde{X}^{n(k-2)*}), \end{cases}$$

$$\rho_k = \begin{cases} \mu_1\rho_{k-1}, & \text{если } F_n(\tilde{X}^{n(k-1)*}) \leq F_n(\tilde{X}^{n(k-2)*}) \leq F_n(\tilde{X}^{n(k-3)*}), \\ \frac{1}{\mu_1}\rho_{k-1} \leq \beta^*, & \text{если } F_n(\tilde{X}^{n(k-1)*}) > F_n(\tilde{X}^{n(k-2)*}), \end{cases}$$

$\mu = 0,8$ — коэффициент уменьшения (увеличения) радиуса окрестностей на каждом этапе МСО, $\mu_1 = 0,6$ — коэффициент, который гарантирует быстрое уменьшение радиуса окрестностей в случае отсутствия улучшений \tilde{X}^{nk*} . Если $k = 1$, то $\rho_k = \rho_{k1} = \rho_{k2} = \rho_{k3} = \beta^*$.

Шаг 3. Генерируются случайные выборки $S_{ki} \subset N_{ki}$, строятся соответствующие множества $\Gamma_{ki} \subset \Gamma$, $L_{ki} \subset L$, вычисляются m_{ki} , σ_{ki} , $i = 1, 2, 3$, и определяется \tilde{p}^k .

Шаг 4. Проверяются условия критерия останова. Если число одинаковых значений F_n в каждой L_{ki} , $i = 1, 2, 3$, больше чем $0,6\lambda$, то процесс поиска новых перестановок заканчивается (следует отметить, что если радиус окрестностей приближается к минимальному,

то количество локальных максимумов с равными значениями функции цели значительно увеличивается).

Шаг 5. Увеличивается счетчик итераций: $k \leftarrow k + 1$.

Точки вида $X^{ni} = (u^{ni}, v^{ni}) \in \mathbb{R}^{3n}$ берутся в качестве начальных точек для вычисления локальных максимумов задачи (1)–(2). Вычисление локального максимума задачи (1)–(2) может быть сведено к решению последовательности задач нелинейного программирования вида

$$F_n(X^{nj*}) = \max_{X^n \in W_{ni_j}} F_n(X^n), \quad j = 1, 2, \dots, \quad m \ll \eta, \quad (3)$$

где $W_{ni_j} \subset W_n$, $W_n = \bigcup_{i=1}^{\eta} W_{ni}$.

Для решения задачи (3) используется модификация метода возможных направлений [7] вместе со стратегией ε -активных неравенств [8, 9].

Для отыскания локального максимума используется стандартный итерационный процесс $X^{n(k+1)} = X^{nk} + tZ^k$, $k = 1, 2, \dots, \zeta$, где $Z^k \in \mathbb{R}^{3n}$ — решение следующей задачи:

$$\max_{(\alpha^k, Z^k) \in G^k} \alpha^k, \quad (4)$$

$$G^k = \{(\nabla F_n(X^{nk}), Z^k) \geq \alpha^k, (\nabla \Psi_{k_j}(X^{nk}), Z^k) \geq w_{k_j}, j = 1, 2, \dots, s_k(\varepsilon_k), \\ -1 \leq z_i^k \leq 1, i = 1, 2, \dots, 3n\}, \quad (5)$$

где $\Psi_{k_j}(X^{nk})$ — левая часть ε -активных неравенств из системы, которая выделена из системы (2) в точке X^{nk} и описывает текущую подобласть W_{ni_j} ; $w_{k_j} = \alpha^k$, если $\Psi_{k_j}(X^{nk})$ — вогнутая функция, иначе $w_{k_j} = 0$. Задача (4)–(5) решается методом внутренней точки [10]. Переход от одной задачи типа (3) к другой осуществляется следующим образом. Пусть $\bar{X}^{n1} \in W_n$ — начальная точка. Тогда из системы (2) выбирается система, которая определяет подобласть $W_{ni_1} \subset W_n$, такую, что $X^{n1} \in W_{ni_1}$. Используя точку \bar{X}^{n1} в качестве начальной точки, решаем задачу

$$F_n(X^{n1*}) = \max_{X^n \in W_{ni_1}} F_n(X^n).$$

Полученная точка X^{n1*} может быть локальным максимумом либо относительно всей области W_n , либо только относительно подобласти W_{ni_1} . Для того чтобы определить, является ли X^{n1*} локальным максимумом относительно W_n , необходимо исследовать все W_{ni_j} с $X^{n1*} \in W_{ni_j}$, $j \in \{1, 2, \dots, \eta\}$. Для этой цели из системы (2) выбираются все ε -активные неравенства в точке X^{n1*} и решается задача вида (4)–(5). В результате, если $\alpha > 0$, то X^{n1*} не является локальным максимумом задачи (1)–(2) и тогда вычисляется новая точка $\bar{X}^{n2} = (X^{n1*} + tZ) \in W_n$, в которой $F_n(X^{n1*}) < F_n(\bar{X}^{n2})$. После этого формируется новая система неравенств, которая определяет подобласть $W_{ni_2} \subset W_n$, такую, что $\bar{X}^{n2} \in W_{ni_2}$. Используя \bar{X}^{n2} в качестве начальной точки, решаем задачу

$$F_n(X^{n2*}) = \max_{X^n \in W_{ni_2}} F_n(X^n).$$

Описанный процесс продолжается до тех пор, пока не будет получен локальный максимум задачи (1)–(2).

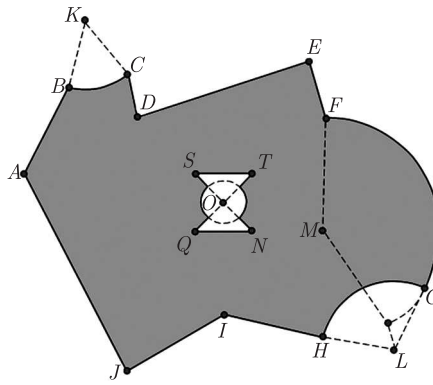


Рис. 3. Заданная невыпуклая область с зоной запрета

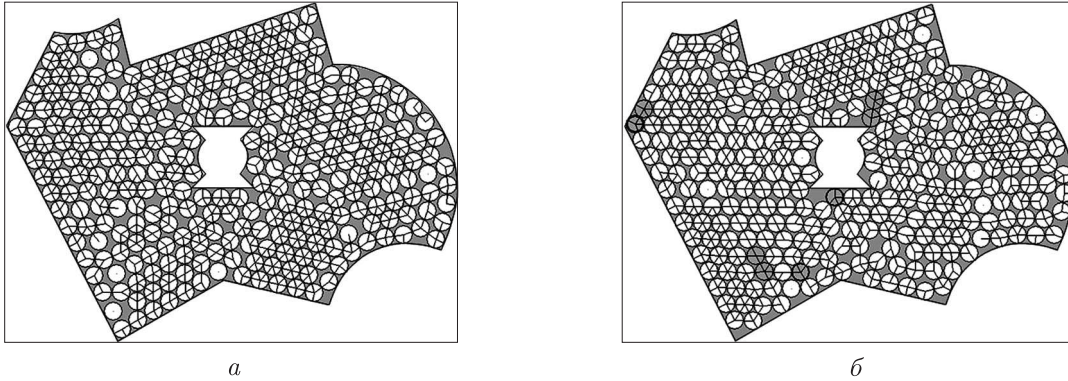


Рис. 4. Результат упаковки кругов, $r = 1,5$

Численный пример. Пусть даны равные круги и невыпуклая область P с одной зоной запрета (рис. 3).

Вершины P_0 (см. рис. 3) имеют такие координаты: $A(10; 60)$, $B(17,6; 75,19)$, $C(28,15; 77,41)$, $D(30; 70)$, $E(60; 80)$, $F(62,88; 70)$, $G(80,26; 39,84)$, $H(62,34; 30,95)$, $I(45; 35)$, $J(28; 25)$. Граница P_0 формируется отрезками AB , CD , DE , EF , HI , IJ , JA прямых и следующими дугами: BC окружности радиусом 15 с центром $K(20; 90)$, FG окружности радиусом 20 с центром $M(63; 50)$ и GH окружности с радиусом 13 и центром $L(75; 28)$ (см. рис. 3). Зона запрета A_1 задана объединением кругов радиусом 4 с центром $O(45; 55)$ и треугольниками ONQ и OTS , заданными координатами вершин $O(45; 55)$, $N(50; 50)$, $Q(40; 50)$ и $O(45; 55)$, $T(50; 60)$, $S(40; 60)$ соответственно (рис. 3).

На рис. 4, *а* показана упаковка кругов при $r = 1,5$, соответствующая точке $u^* = u^{290*}$, а на рис. 4, *б* — упаковка кругов, соответствующая лучшему локальному максимуму X^{291*} задачи (1)–(2). Радиусы затемненных кругов на рис. 4, *б* не равны 1,5.

Таким образом, анализ исследований, посвященных задачам упаковки одинаковых кругов, показал, что большинство авторов в качестве области размещения рассматривают в основном области правильной формы, т. е. такие фигуры как квадрат, прямоугольник, треугольник и круг. Ни в одной из известных нам работ в качестве области размещения не рассматривается невыпуклая область с зонами запрета, граница которой образована отрезками прямых и дугами окружностей. Вычислительные эксперименты показали, что построенная математическая модель и предложенный метод решения позволяют получать результаты

высокого качества. Сравнение полученных результатов с мировыми аналогами говорит об эффективности предложенного подхода. Следует отметить, что, используя разработанный подход, мы получили многие результаты, которые в мировой литературе приводятся как эталонные в задачах упаковки одинаковых кругов в квадрат и прямоугольник [11]. При этом, нам удалось улучшить результаты упаковок в трех задачах, приведенных в [12].

1. *Стоян Ю. Г., Чугай А. М.* Оптимизация упаковки одинаковых кругов в многосвязную область // Доп. НАН України. – 2004. – № 12. – С. 64–68.
2. *Stoyan Yu. G.* Φ -function and its basic properties // Там само. – 2001. – No 8. – С. 112–117.
3. *Stoyan Y., Scheithauer G., Gil M., Romanova T.* Φ -function for complex 2D objects // 4OR Quarterly J. of the Belgian, French and Italian Operat. Research Societies. – 2004. – **2** (1). – P. 69–84.
4. *Stoyan Y., Terno J., Scheithauer G. et al.* Φ -function for 2D primary objects // Studia Informatica. – 2002. – **2** (1). – P. 1–32.
5. *Пападимитриу Х., Стайглиц К.* Комбинаторная оптимизация. Алгоритмы и сложность. – Москва: Мир, 1985. – 512 с.
6. *Стоян Ю. Г., Соколовский В. З.* Решение некоторых многоэкстремальных задач методом сужающихся окрестностей. – Киев: Наук. думка, 1980. – 208 с.
7. *Зойтендейк Г.* Методы возможных направлений. – Москва: Изд-во иностр. лит., 1963. – 176 с.
8. *Гилл Ф., Мюррей У., Райт М.* Практическая оптимизация. – Москва: Мир, 1985. – 509 с.
9. *Stoyan Yu., Chugay A.* Packing cylinders and rectangular parallelepipeds with distances between them into a given region // Europ. J. of Operat. Research. – 2009. – **197**. – P. 446–455.
10. *Gondzio J.* HOPDM (version 2.12) – A Fast LP Solver Based on a Primal-Dual Interior Point Method // Ibid. – 1995. – **85** (1). – P. 221–225.
11. *Specht E.*, <http://www.packomania.com>.
12. *Birgin E. G., Martinez J. M., Ronconi D. P.* Optimizing the packing of cylinders into a rectangular container // Europ. J. of Operat. Research. – 2005. – **160** (1). – P. 19–33.

*Институт проблем машиностроения
и.м. А. Н. Подгорного НАН Украины, Харьков*

Поступило в редакцию 17.04.2009

Corresponding Member of the NAS of Ukraine **Yu. G. Stoyan, A. M. Chugay**

A mathematical model and a solution method of the packing problem of a maximal number of equal circles into a non-convex region with prohibited areas

The paper deals with the optimization packing problem of equal circles into a multiply connected region, whose frontier consists of arcs of circles and segments of straight lines. A mathematical model of the problem is constructed. On the ground of the characteristics of the mathematical model, a solution method is offered. The method consists of a combination of an algorithm generating starting points, a modification of the method of feasible directions to search for local maxima, and a modification of the decremental neighborhood method to search for an approximation to the global maximum. A numerical example is given.